

بررسی تاثیر ضخامت و فشار در دیافراگم‌های میکرو الکترومکانیکی در میزان جابجایی در کاربردهای پزشکی

نازلی زرگرپورفردین

مربی، واحد ایلخچی، دانشگاه آزاد اسلامی، باشگاه پژوهشگران جوان و نخبگان، ایلخچی، ایران.

تاریخ دریافت: ۱۳۹۴/۱۲/۲۲ تاریخ پذیرش: ۱۳۹۵/۱۲/۲۲

خلاصه: در این مقاله، تأثیر پارامترهای طراحی در دیافراگم بر روی حساسیت میکروفون به منظور استفاده در کاربردهای پزشکی قابل کاشت ارائه گردیده است. پارامترهای متفاوتی از دیافراگم همچون شکل، ابعاد، ضخامت و فشارهای اعمالی مختلف بر روی دیافراگم در نظر گرفته شده است. تأثیر تغییرات در این پارامترها بر روی میزان جابجایی و استرس در انواع شکل دیافراگم‌ها مورد بحث و بررسی واقع شده است. به منظور طراحی بهینه، انواع شکل دیافراگم‌های پیشنهادی، از جهت پارامترهای در نظر گرفته شده در نرم‌افزار COMSOL شبیه‌سازی و آنالیز شده‌اند. با توجه به پارامترهای مورد بررسی، انواع اشکال دیافراگم مربعی، مستطیلی و بیضوی شکل با توجه به شرایط در نظر گرفته شده، دارای میانگین جابجایی مرکزی در محدوده فرکانس شنوایی انسان 20–20 kHz می‌باشد. نتایج حاصل از شبیه‌سازی‌ها بدین صورت می‌باشد که دیافراگم بیضوی شکل نسبت به اشکال دیگر مورد بررسی در این مقاله، برای کاربردهای پزشکی و امکان کاشته شدن، دارای کارایی بهینه و مطلوبی می‌باشد. به علاوه، ماده‌ی پیزوالکتریک مورد استفاده در طراحی دیافراگم PZT است.

کلمات کلیدی: سیستم میکرو الکترومکانیکی (MEMS)، دیافراگم، جابجایی، ماده‌ی پیزوالکتریک، COMSOL.

Evaluating the Effect of Pressure on the Diaphragm Micro-Electro-Mechanical Thickness and the Amount of Shift in Medical Applications

Nazli Zargarpourfardin

Young Researchers and Elite Club, Ilkhchi Branch, Islamic Azad University, Ilkhchi, Iran.

Zargarpour.n@gmail.com

In this paper, the influence of design parameters on the sensitive microphone diaphragm for use in implantable medical applications is presented. The different parameters such as diaphragm shape, size, thickness and different applied pressures on the diaphragm has been considered. The effect of changes in these parameters on the displacement and stress in a variety of shapes of diaphragm is discussed. In order to design the optimal shape of the proposed diaphragm for the considered parameters, it has been simulated and analyzed in software COMSOL. According to the parameters, the diaphragm shapes of square, rectangular and oval with respect to the intended user, average central displacement in human hearing frequency range 20Hz-20KHz are 5. 5 nm, 2. 6 nm, and 130 nm respectively. According to the results of the simulations, the oval-shaped diaphragm that has been studies in this paper, the possibility of implanted medical applications, performance is optimal than other shapes. In addition, the piezoelectric material is PZT used in the design of the diaphragm.

Index Terms: Micro-Electro-Mechanical System, Diaphragm, Displacement, Piezoelectric, COMSOL.

نویسنده مسئول: نازلی زرگرپورفردین، مربی، دانشگاه آزاد اسلامی، واحد ایلخچی، باشگاه پژوهشگران جوان و نخبگان، ایلخچی، ایران، Zargarpour.n@gmail.com

تکنولوژی، در حال کسب محبوبیت در ساخت دستگاه‌های پزشکی مانند سوزن میکرونی، دستگاه‌های مبتنی بر روش اسمز، دستگاه‌های پمپ میکرونی و قطعات مورد نیاز قابل کاشت در حال رشد و تقاضا در بازار صنعت پزشکی می‌باشد [۲۰].

در این مقاله، دیافراگم پیزوالکتریک مبتنی بر تکنولوژی میکروالکتروومکانیکی برای کاربردهای پزشکی ارائه شده است. بدین منظور سه نوع شکل مختلف دیافراگم (مربع، مستطیل و بیضی) با سایزهای متناظر با هم و تحت شرایط یکسان، در نرمافزار COMSOL از نظر میزان جابجایی (که مهمترین پارامتر در بررسی دیافراگم میکروفون میکروالکتروومکانیکی می‌باشد) و استرس شبیه‌سازی و آنالیز شده‌اند. از طرفی دیافراگم مطلوب و پیشنهادی با ضخامت‌های مختلف و تحت فشارهای اعمالی متفاوت جهت ارزیابی میزان جابجایی مرکزی دیافراگم مورد بررسی قرار گرفته شده است [۱۴] به طوری که مواد پیزوالکتریک دارای مکانیزم مستقیمی می‌باشند، یعنی سیگنال‌های مکانیکی را به الکتریکی و الکتریکی را به مکانیکی تبدیل می‌نمایند. میکروفون‌های میکروالکتروومکانیکی پیزوالکتریک برای کاشت در محیط گوش برای بیماران با ناشنوایی معمولی یا عمیق در ابعاد کوچک کاربرد دارد. فقدان شنوایی یکی از اختلالات معمول شنوایی می‌باشد و این نوع اختلالات چه از نوع عمیق و چه معمولی میلیون‌ها نفر را در جهان تحت تاثیر قرار داده است [۴].

هدف ما در این مقاله، بررسی دیافراگم اشکال مربع، مستطیل و بیضی که از طریق شبیه‌سازی در نرمافزار COMSOL جهت رسیدن به ماکریزم جابجایی در مرکز دیافراگم و استرس که جهت استفاده در سمعک مناسب می‌باشد. بدین ترتیب استفاده از انواع سمعک بسته به شدت ناشنوایی از عمدۀ ترین راههای درمان ناشنوایی به شمار می‌رود. گرایش به سمت توسعه کوچکسازی و فشرده‌سازی در مساحت تکنولوژی میکروسیستم منجر به توسعه سمعک‌های قابل کاشت کامل در گوش شد. از اهداف اصلی و مهم در سمعک‌ها، توسعه میکروفون قابل کاشت در گوش می‌باشد [۲۱-۲۲] بنابراین انتخاب و طراحی نوع شکل دیافراگم در میکروفون از اهداف اصلی و مهم به شمار می‌رود.

۲. کارهای انجام شده

بر اساس مقاله‌ای که در سال ۲۰۰۸، ارائه گردیده است، دیافراگم میکروفون پیزوالکتریک با استفاده از تکنولوژی میکروالکتروومکانیکی جهت به کارگیری در کاربردهای صنعتی پیشنهاد شده است. در مقاله مذکور، دو نوع شکل دیافراگم پیزوالکتریک تحت شرایط یکسان و تحت یک ضخامت و ابعاد متناسب و مشخص برای کاربردهای صنعتی بررسی شده است [۱۴].

در ادامه، طراحی دیافراگم میکروالکتروومکانیکی و نتایج حاصل از انجام شبیه‌سازی‌ها در نرمافزار COMSOL و مقایسه نتایج حاصل با یکدیگر و نتیجه‌گیری حاصل از طرح پیشنهادی ارائه شده است.

۲. روش کار

۱. مقدمه

اساس کار میکروفون‌های میکروالکتروومکانیکی، انتقال انرژی صوتی به انرژی الکتریکی با تبدیل جابجایی مکانیکی به یک سیگنال الکتریکی است. میکروفون‌ها را می‌توان به دو نوع اصلی تقسیم‌بندی کرد: میکروفون‌های قدیمی و سیلیکونی. حدود ۵۰ سال پیش ابعد میکروفون‌ها، بزرگ و در حد ۴ mm ۶ و دارای ارتفاع ۱ mm ۲ بودند که عملکرد این میکروفون‌ها توسط نویز محیط و نویز مکانیکی و الکترومغناطیسی محدود می‌گشت و این نوع میکروفون‌ها نمی‌توانستند این عوامل را جبران کنند. بنابراین کیفیت صوت پایینی داشتند که با پیشرفت و توسعه تکنولوژی میکروالکتروومکانیکی (حدود ۲۰ سال پیش) سایز میکروفون‌ها کوچک شد که این خود باعث کاهش هزینه و سایر مزایا گشت [۱].

میکروفون‌های میکروالکتروومکانیکی (MEMS)، در حال حاضر برای بسیاری از دستگاه‌های قابل حمل مانند تلفن‌های هوشمند، تبلت و یا لپ‌تاپ مورد استفاده قرار می‌گیرند و جایگزین میکروفون‌های معمولی الکتروولیتی شده‌اند. از طرفی سایز و هزینه، دو پارامتر اساسی در طراحی میکروفون می‌باشد.

از جمله مزایای میکروفون‌های MEMS شامل اینمی در تداخل الکترومغناطیسی و جهت پرتو فرکانس رادیویی (برای میکروفون دیجیتال)، حذف نویز با استفاده از آرایه‌ای از میکروفون‌ها، یکپارچه‌سازی بر روی تراشه، سازگاری با CMOS² و عملکرد و ثبات بهتر با سایز کوچک و هزینه مناسب می‌باشد [۲-۳].

میکروفون‌های میکروالکتروومکانیکی جزو دسته میکروفون‌های سیلیکونی بوده و می‌توانند به صورت پیزورزیستیو، خازنی و پیزوالکتریک طراحی شوند. در مکانیزم انتقال پیزوالکتریک، خم شدن دیافراگم به ولتاژ تبدیل می‌شود و این از طریق الکترودهای بالا و پایین بر روی دیافراگم تشخیص داده می‌شود. مکانیزم انتقال پیزورزیستیو بر اساس تغییر مقاومت به دلیل تنش ناشی از دیافراگم می‌باشد. در این نوع مکانیزم، سنجش و ارزیابی بر اساس پل و تستون انجام می‌گیرد. مکانیزم انتقال خازنی مبتنی بر تغییرات ظرفیت خازنی مابین دیافراگم می‌باشد. کاربردهای زیادی همچون تلفن‌های همراه، سمعک‌ها و سیستم‌های آلتراسونیک از مکانیزم‌های مختلف تحریک همچون پیزوالکتریک، الکترواستاتیک و الکترودینامیک استفاده می‌کنند [۱۲-۱۴]. علیرغم نیاز میکروفون‌های خازنی به ولتاژ بیاس بالا، استفاده از این نوع نسبت به پیله متداول تر می‌باشد [۱۵-۱۳]. زیرا از جمله مزایای عده میکروفون‌های پیزوالکتریک، داشتن رنج دینامیکی وسیع، نیاز نداشتن به توان ورودی، جابجایی بسیار دقیق، مصرف انرژی کم و پاسخ زمانی سریع (در حد μm) می‌باشد [۱۶-۱۹]. تنها مشکل مطرح در مورد میکروفون از جنس پیزوالکتریک، پایین بودن حساسیت آن می‌باشد که به منظور رفع این مشکل، راهکارهایی در منبع [۱۴] ارائه شده است. در دو دهه اخیر، تکنولوژی MEMS، به نیازهای صنعت پزشکی پاسخگو بوده است. به طوری که صنعت پزشکی با استفاده از این نوع

$$V = \frac{Ed_{31}\varepsilon_{11}dA}{c} \quad (2)$$

که E مدول یانگ یا مدول الاستیسیته ماده با واحد Pa , d_{31} ضریب پیزوالکتریک، ε_{11} کرنش اعمالی، dA سطح الکترودها با واحد μm^2 طرفیت ساختار با واحد فاراد می باشد که بر اساس مطالعات انجام شده در [۲۳] استخراج شده است.

۴. اشکال دیافراگم

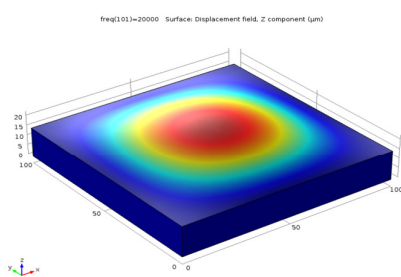
در این بخش برای طراحی دیافراگم، سه شکل مختلف مربعی، مستطیلی و بیضوی با ابعاد متناظر با هم و تحت نیروی اعمالی 1 Pa ویفر سیلیکونی، ضخامت $15\mu\text{m}$ و ماده پیزوالکتریک مورد استفاده PZT مد نظر قرار گرفته و در نرم افزار COMSOL آنالیز و شبیه‌سازی شده‌اند.

الف. دیافراگم طراحی شده با شکل مربعی تحت شرایط ذکر شده مربعی با ضلع $100\mu\text{m}$ در نرم افزار COMSOL شبیه‌سازی شده است. ماکریزم جابجایی و استرس یا تنفس دیافراگم مربعی با فشار اعمالی 1 Pa به ترتیب از روابط (۳) و (۴) به دست می‌آیند:

$$W_{\max} = \frac{0.0133 \text{ Pa}^2}{Eh^3} \quad (3)$$

$$\delta_{\max} = \frac{0.309 \text{ Pa}^2}{h^2} \quad (4)$$

به طوری که، P فشار اعمالی با واحد Pa ، a طول ضلع مربع با واحد μm ، E مدول یانگ با واحد Pa نیرو اعمالی و h ضخامت دیافراگم با واحد μm می‌باشند که رابطه (۳) بیانگر ماکریزم جابجایی مرکز دیافراگم و رابطه (۴) بیانگر استرس ایجاد شده در دیافراگم مدل نظر گرفته شده، هستند که بر اساس [۲۳] محاسبه شده‌اند. مدل شبیه‌سازی شده دیافراگم مربعی، آنالیز مش، جابجایی، استرس یا تنفس در امتداد خط پیوستن به نقطه میانی ضلع مقابل، استرس یا تنفس خط مورب اتصال یک گوش به گوش مقابله که در نرم افزار COMSOL انجام شده‌اند، به ترتیب در اشکال (۲-۶) ارائه گردیده‌اند.



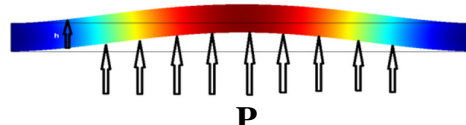
شکل (۲): آنالیز ۳ بعدی جابجایی مرکز دیافراگم مربعی با اندازه $100\mu\text{m}$
Fig. (2): Analysis of 3D displacement of the center square diaphragm with size $100\mu\text{m}$

در این بخش از مقاله، طراحی و نتایج به دست آمده از شبیه‌سازی‌ها برای میکروفون میکروالکترومکانیکی پیزوالکتریک پیشنهادی ارائه گردیده است.

طراحی دیافراگم؛ وقتی در معرض فشار صوتی قرار می‌گیرد، دچار خمش می‌گردد. فشار صوتی کل برابر است با : [۱۴, ۱۸]

$$P = p_0 + p \quad (1)$$

که p فشار محیط و p_0 نویزهای محیطی که با هم ترکیب شده و فشار صوتی کل را طبق رابطه فوق [۲۳-۲۴] ایجاد می‌کنند. شماتیکی از دیافراگم در شکل (۱) نشان داده شده است. برای آنالیز، فرض بر این است که دیافراگم همگن، متقاضان و خطی است. به علاوه، در این تحلیل فرض شده است که دیافراگم از دو سمت ثابت می‌باشد و باید استرس باقیماندهاش در صفحه، صفر باشد. شاعر a : ضخامت h ، مدلولاسیون الاستیسیته E و نسبت پواسن ν برای آنالیز کردن دیافراگم فرض شده‌اند. به علاوه، دیافراگم تحت تأثیر فشار عمودی یکنواخت p قرار گرفته است [۲۵-۲۷].



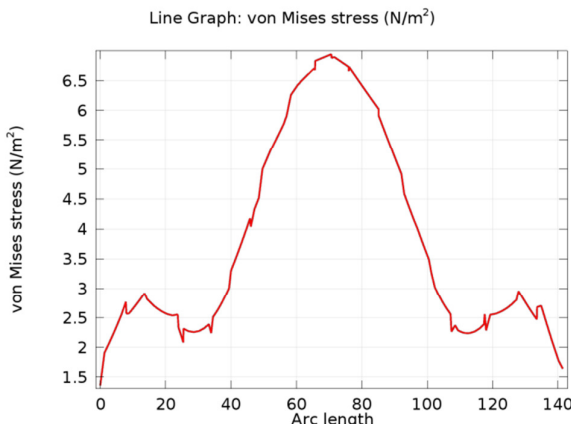
شکل (۱): شماتیک دیافراگم کشیده شده در نرم افزار COMSOL
Fig. (1): Diaphragm schematic in COMSOL software

بر اساس تئوری صفحه، اگر انحراف و خمش عمودی دیافراگم، خیلی کوچکتر از ضخامتاش باشد، کرنش در صفحه مبدأ دیافراگم، می‌تواند نادیده گرفته شود و آنالیز در این مورد، آنالیز جابجایی کوچک نامیده می‌شود. اما اگر انحراف عمودی دیافراگم به ضخامتاش بستگی داشته باشد، کرنش داخلی را نمی‌توان نادیده گرفت و آنالیز در این مورد، آنالیز جابجایی بزرگ، نامیده می‌شود. شبیه‌سازی و تجزیه و تحلیل پارامترهای مختلف یعنی حساسیت، فرکانس رزونانس، جابجایی در مرکز دیافراگم و تنفس و کرنش ایجاد شده در دیافراگم به دلیل فشار اعمالی، مبتنی بر تئوری انحراف کوچک دیافراگم انجام می‌گیرد.

بر طبق این تئوری، بیشترین خمش با توجه به بار اعمال شده کوچک است به عنوان مثال بیشتر از 30° درصد ضخامت دیافراگم نیست. فرض دیگر این است که صفحه یا دیافراگم تخت است و ضخامت یکنواختی دارد و همه نیروها و بارها به طور عمودی به صفحه دیافراگم وارد می‌شوند. نیروی اعمال شده به طور عمودی به صفحه دیافراگم وارد می‌شوند.

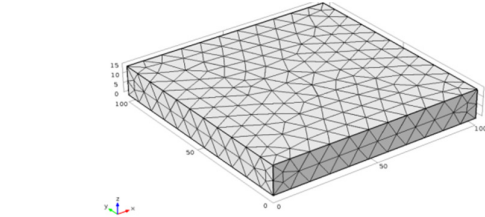
در این بخش از مطالعه، فشار استاتیکی 1 Pa به سمت زیر دیافراگم میکروفون میکروالکترومکانیکی اعمال می‌گردد، بنابراین نیرو مخالف با نیروی گرانش عمل می‌کند.

ولتاژ ایجاد شده در دیافراگم در ازای اعمال فشار برابر است با:

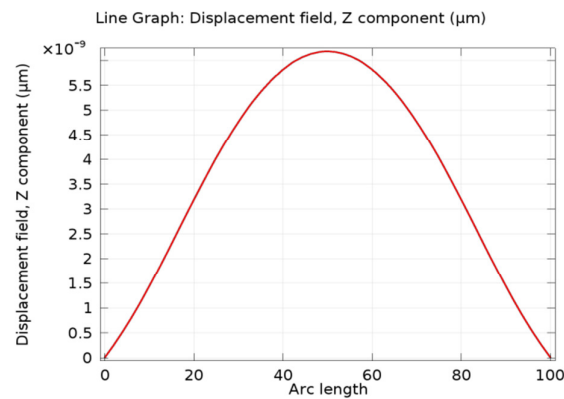


شکل (۶): استرس در امتداد خط پیوستن یک گوشه به گوشه مقابل
Fig. (6): Stress along the line joining one corner to the opposite corner

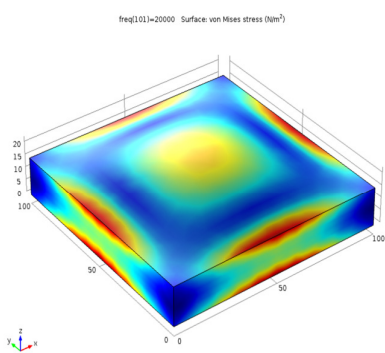
با توجه به نتایج به دست آمده از شبیه‌سازی دیافراگم مربعی (شکل ۵ و ۷)، استرس ایجاد شده برای فشار داده در لبه‌ها بیشترین مقدار را دارد. بنابراین شکل مربعی جهت طراحی دیافراگم هم می‌تواند به دلیل جدا کردن آسان دیافراگم از ویفرهای استاندارد، یک شکل هندسی معتبر تلقی گردد.



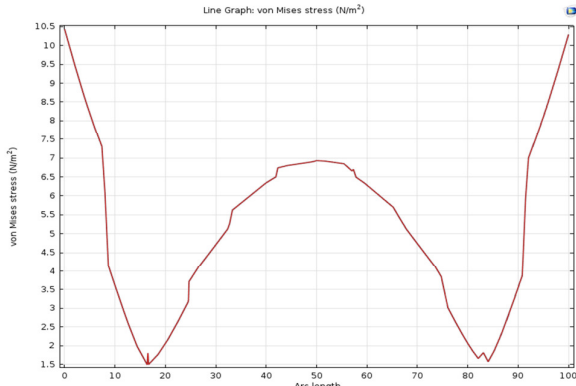
شکل (۳): آنالیز مش ۳ بعدی دیافراگم مربعی با اندازه ۱۰۰ μm
Fig. (3): Analysis of 3D mesh of the square diaphragm with size 100 μm



شکل (۴): جابجایی در امتداد محور مورب
Fig. (4): Displacement along the diagonal axis



شکل (۷): شبیه‌سازی دیافراگم مربعی با بیشترین استرس ایجاد شده در لبه‌ها
Fig. (7): Simulation of square diaphragm with the most stress at the edges



شکل (۵): استرس در امتداد خط پیوستن به نقطه میانی طرف مقابل
Fig. (5): Stress along the line joining the midpoint of the opposite side

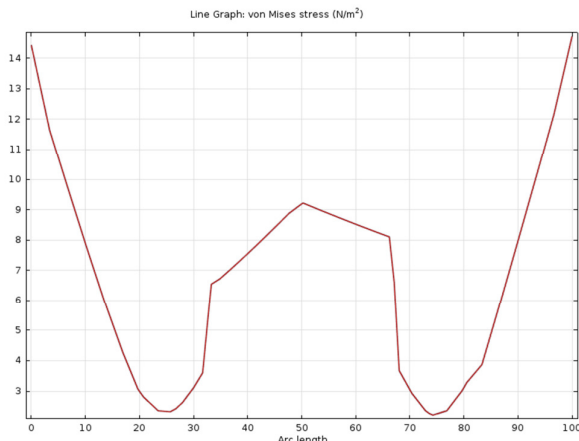
ب. دیافراگم مستطیلی

در این قسمت مستطیلی با ابعاد $100 \mu\text{m} \times 200 \mu\text{m}$ و تحت شرایط یکسان در نظر گرفته شده، در نرم‌افزار COMSOL آنالیز و شبیه‌سازی شده است.

ماکزیمم استرس و ماکزیمم جابجایی در مرکز در نقطه میانی هر لبه، به ترتیب با معادلات (۵) و (۶) محاسبه می‌گردد [۲۳]:

$$\delta_{\max} = \frac{0.309 P_{ab}}{h^2} \quad (5)$$

$$W_{\max} = \frac{0.0133 P_{ab}}{Eh^3} \quad (6)$$

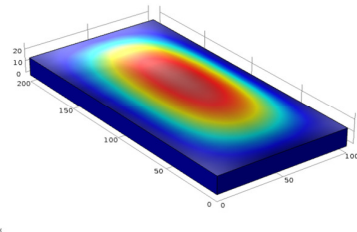


شکل (۱۱): استرس در امتداد خط پیوستن نقطه وسط یک ضلع به ضلع مقابل با کوتاهترین فاصله (استرس لبه)

Fig. (11): Stress along the line joining the midpoint of a side to the opposite side with the shortest distance (edge stress)

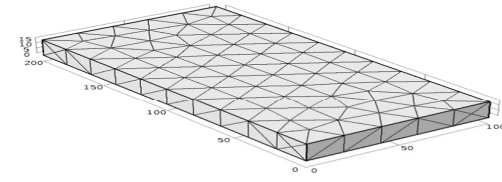
P بیانگر فشار با واحد N/m^2 ، a و b طول و عرض مستطیل با واحد μm ، h ضخامت دیافراگم با واحد μm ، E مدول الاستیسیته با واحد Pa می‌باشد که معادله ۵، بیانگر ماکریزم استرس ایجاد شده در نقطه میانی هر ضلع مستطیل و معادله ۶ ماکریزم جابجایی در مرکز دیافراگم مستطیلی را با توجه به [۲۳] ارائه می‌کنند. مدل شبیه‌سازی شده دیافراگم مستطیلی، آنالیز مش، جابجایی، استرس یا تنش در امتداد خط پیوستن به نقطه میانی ضلع مقابل، استرس یا تنش خط مورب اتصال یک گوشه به گوشه مقابل به ترتیب در اشکال (۸-۱۲) و با استفاده از نرم‌افزار COMSOL نشان داده شده‌اند.

freq(101)=20000 Surface: Displacement field, Z component (μm)



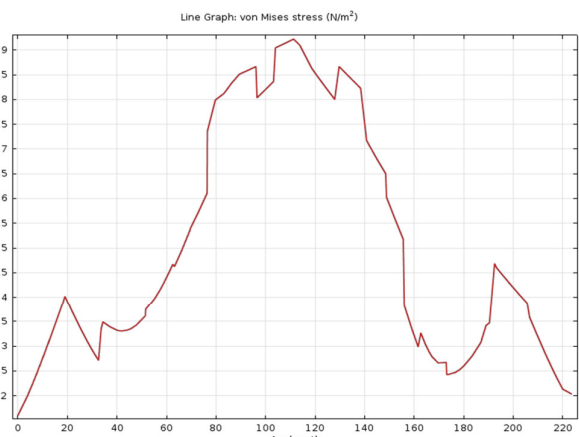
شکل (۸): آنالیز ۳ بعدی جابجایی مرکز دیافراگم مستطیلی با اندازه $100 \mu\text{m} \times 200 \mu\text{m}$

Fig. (8): Analysis of 3D displacement of the center the rectangular diaphragm with $100 \mu\text{m} \times 200 \mu\text{m}$



شکل (۹): آنالیز مش ۳ بعدی دیافراگم مستطیلی با اندازه $100 \mu\text{m} \times 200 \mu\text{m}$

Fig. (9): Analysis of 3D mesh rectangular diaphragm with $100 \mu\text{m} \times 200 \mu\text{m}$



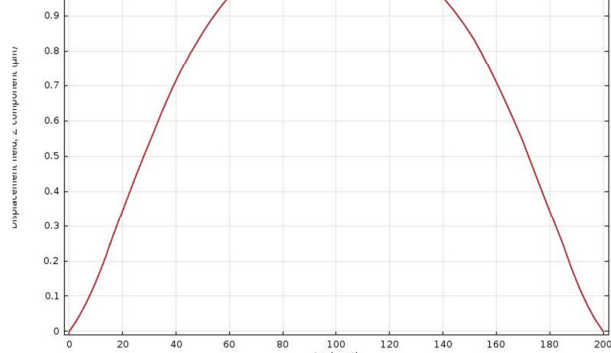
شکل (۱۲): استرس در امتداد خط پیوستن یک گوشه به گوشه مقابل

Fig. (12): Stress along the line joining one corner to the opposite corner

با توجه به آنالیزهای (شکل ۱۲)، ملاحظه می‌گردد که استرس ایجاد شده به مرتبه کمتر می‌باشد.

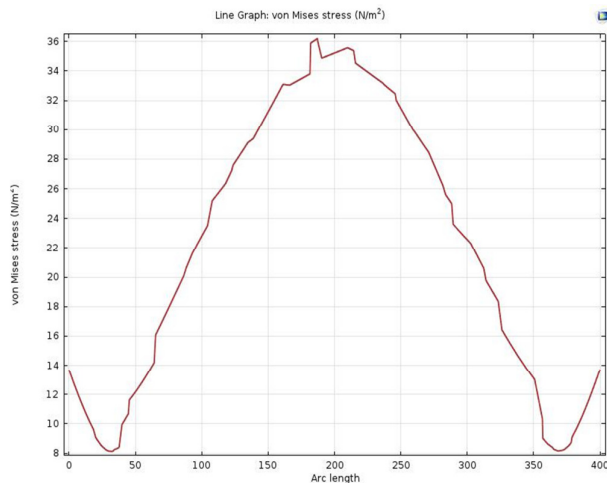
ج. دیافراگم بیضوی شکل:

دیافراگم بیضوی تحت شرایط یکسان با دیافراگم‌های مربعی و مستطیلی شکل و دارای ابعاد محور نیمه A برابر $200 \mu\text{m}$ و محور نیمه B برابر $100 \mu\text{m}$ شبهه‌سازی و آنالیز شده است و نتایج حاصل از شبیه‌سازی‌ها در شکل‌های (۱۳-۱۶) که مدل شبیه‌سازی شده دیافراگم بیضوی، جابجایی، استرس یا تنش عرضی، استرس یا تنش خط مورب طولی نشان داده شده است.

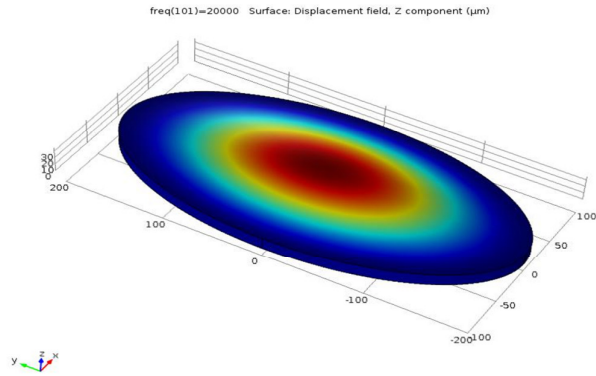


شکل (۱۰): جابجایی در امتداد محور مورب

Fig. (10): Displacement along the diagonal axis



شکل (۱۶): استرس در امتداد خط پیوستن طولی
Fig. (16): Stress along the longitudinal join line



شکل (۱۳): آنالیز ۳ بعدی جابجایی مرکز دیافراگم بیضوی با ابعاد ۱۰۰ μm × ۲۰۰ μm
Fig. (13): Analysis of 3D displacement of the center the oval diaphragm 100 μm × 200 μm

۵. یافته‌ها

جدول (۱)، مقایسه ما بین اشکال مختلف دیافراگم با ابعاد متناظر با هم و تحت شرایط یکسان که در نرم‌افزار COMSOL طراحی و شبیه‌سازی شده است را نشان می‌دهد.

با توجه به نتیجه مقایسه بین دیافراگم‌های مربعی، مستطیلی و بیضوی شکل، ملاحظه می‌گردد که دیافراگم با شکل بیضوی بیشترین جابجایی مرکزی را دارد و برای میکروفن میکروالکتروموکانیکی پیزوالکتریک در کاربردهای پزشکی داشتن دیافراگمی با بیشترین جابجایی نقش اصلی بر روی حساسیت‌اش ایفا می‌کند. پس دیافراگم بیضوی شکل، از نقطه نظر طراحی مطلوب می‌باشد. از طرفی بیشترین استرس لبه مربوط به دیافراگم بیضوی است.

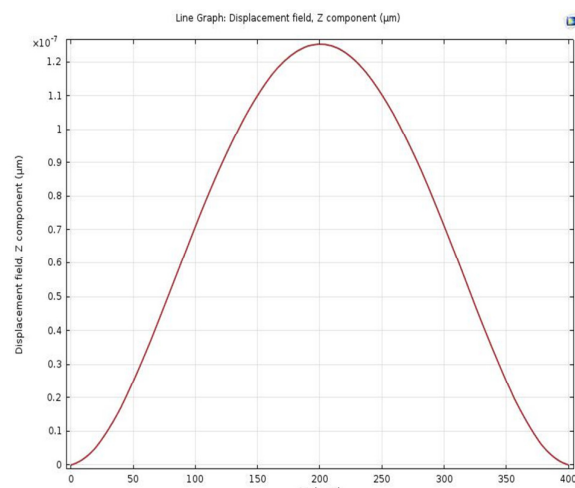
۵-۱- تغییر ضخامت دیافراگم بیضوی

در این قسمت، تأثیر تغییر ضخامت دیافراگم مطلوب بر روی میزان جابجایی مرکز دیافراگم بیضوی محور A: ۲۰۰ μm و محور B: ۱۰۰ μm و فشار اعمالی ۱ Pa و در محدوده فرکانسی ۲۰ Hz-۲۰ KHz شبیه‌سازی شده است. جدول (۲)، تأثیر تغییرات ضخامت بر روی میزان جابجایی مرکز دیافراگم را نشان می‌دهد.

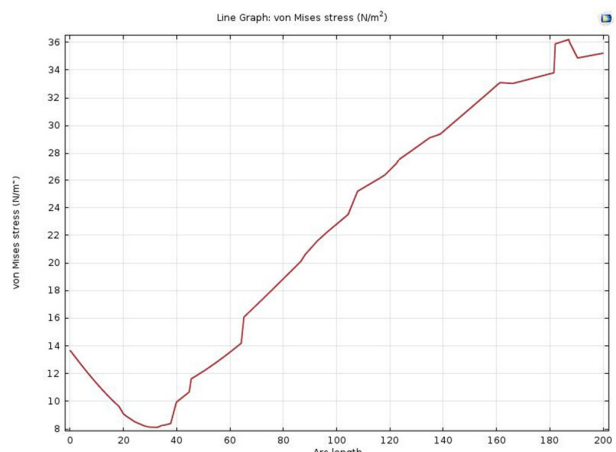
Table (2): Change of Elliptic diaphragm thickness

جدول (۲): تغییرات ضخامت دیافراگم بیضوی

ضخامت (μm)	میانگین جابجایی مرکز دیافراگم (μm)	
۱۰	۰/۴۱	۱
۱۵	۰/۱۳	۲
۲۰	۰/۰۵۴	۳
۲۵	۰/۰۳	۴
۴۰	۰/۰۱	۵



شکل (۱۴): جابجایی در امتداد محور مورب
Fig. (14): Displacement along the diagonal axis



شکل (۱۵): استرس در امتداد خط پیوستن در کوتاهترین مسیر (عرضی)
Fig. (15): Stress along the line joining the shortest path (transverse)

Table(1): Comparison between different types of diaphragm

جدول (۱): مقایسه مابین اشكال مختلف دیافراگم

بیشترین میانگین جابجایی مرکز دیافراگم (μm)	بیشترین استرس (N/m^2)	سایز (μm)	شكل	
۶/۲ nm	لبه: ۵/۱۵ گوشه به گوشه مقابله: ۴/۸۲	۱۰۰	مربع	۱
۵/۵ nm	لبه: ۴/۷۷ گوشه به گوشه مقابله: ۲/۲۲	۱۰۰×۲۰۰	مستطیل	۲
۱۳۰ nm	لبه: ۲۳/۹ طولی: ۲۲/۵	محور A: ۲۰۰ محور B: ۱۰۰	بیضی	۳

مذکور دو نوع شکل شش ضلعی و هشت ضلعی تحت شرایط یکسان و تحت یک ضخامت و ابعاد مناسب و مشخص برای کاربردهای پزشکی بررسی شده است [۲۸].

در این مقاله، طراحی و شبیه‌سازی دیافراگم‌های مرتعی، مستطیلی و بیضی شکل با ابعاد متناظر با هم در نرم‌افزار COMSOL جهت استفاده در کاربردهای پزشکی مورد مطالعه قرار گرفته شده است و نسبت به مقاله [۲۸] دارای جابجایی بیشتر و همچنین از ماده بهتری استفاده شده است. ابعاد دیافراگم پیشنهادی مناسب با کاربرد پزشکی بوده و قابلیت کاشته شدن در گوش را دارد. ماده پیزوالکترویک مورد استفاده در شبیه‌سازی‌ها PZT می‌باشد. نتایج حاصل از شبیه‌سازی‌ها در این مقاله نشان داده شده است که دیافراگم بیضوی با ابعاد $۲۰۰\text{ }\mu\text{m} \times ۱۰۰\text{ }\mu\text{m}$ نسبت به دیافراگم‌های مرتعی و مستطیلی با سایزهای که در جدول (۱) است و تحت شرایط یکسان می‌باشد. جابجایی مرکز دیافراگم بیضوی پیشنهادی با ابعاد $۱۰۰\text{ }\mu\text{m} \times ۲۰۰\text{ }\mu\text{m}$ ، تحت نیروی اعمالی ۱ Pa در راستای محور Z و دمپینگ $۰/۰۰۱$ ، ۱۳۰ nm می‌باشد. همچنین ماده پیزوالکترویک مورد استفاده در این شبیه‌سازی‌ها PZT می‌باشد که این مقدار به ازای شکل مرتعی به ضلع $۱۰۰\text{ }\mu\text{m}$ و دیافراگم مستطیلی با ابعاد $۲۰۰\text{ }\mu\text{m} \times ۱۰۰\text{ }\mu\text{m}$ ، ضخامت $۱۵\text{ }\mu\text{m}$ و تحت شرایط یکسان به ترتیب $۶/۲\text{ nm}$ و $۵/۵\text{ nm}$ می‌باشد. چون جابجایی مرکزی مهمترین پارامتر در میکروفون‌های قابل کاشت در کاربردهای پزشکی می‌باشد، در این مقاله به تحلیل این پارامتر در شرایط مختلف پرداخته شده است. بعد از تعیین دیافراگم بیضی شکل تحت شرایط یکسان و با ضخامت‌های متفاوتی شبیه‌سازی شده است که با توجه به نتایج جدول (۲) می‌توان استنباط کرد که دیافراگم پیشنهادی با زیاد شدن ضخامت‌ش دارای کمترین میانگین جابجایی مرکزی می‌باشد. تحلیل بعدی که بر روی دیافراگم بیضوی انجام گرفته شده است، طبق جدول (۳) دیافراگم مطلوب تحت فشارهای مختلف آنالیز شده است و به این نتیجه رسیدیم که هر قدر فشار اعمالی به دیافراگم با در نظر گرفتن قوانین مربوط به خطینگی و کاربرد در پزشکی پیشتر باشد، میزان میانگین جابجایی مرکزی نیز بیشتر می‌شود.

پی‌نوشت:

- Micro-Electro-Mechanical-System
- Complementary Metal Oxide Semiconductor

با توجه به نتایج به دست آمده از جدول (۲) ملاحظه می‌گردد که هر چه قدر ضخامت دیافراگم بیشتر می‌شود میزان جابجایی در مرکز دیافراگم کمتر می‌گردد. لازم به ذکر است جدول (۲) در شرایط یکسان اعمال شده به دست آمده است.

۲-۵- تغییرات فشار اعمالی بر دیافراگم بیضوی

در این بخش، دیافراگم پیشنهادی با شکل بیضوی را با ابعاد، ضخامت و با همان شرایط در نظر گرفته شده در نرم‌افزار COMSOL تحت فشارهای اعمالی متفاوتی قرار داده و تاثیر تغییرات فشار اعمالی بر روی میزان جابجایی مرکز دیافراگم بررسی شده است. نتایج حاصل از آنالیز در جدول (۳) آورده شده است.

Table (3): Change of applied pressure on the proposed diaphragm

جدول (۳): تغییرات فشار اعمالی بر دیافراگم پیشنهادی

فشار (Pa)	میانگین جابجایی مرکز دیافراگم (μm)	
۰/۵	۰/۱۳	۱
۱	۰/۲۵	۲
۵	۱/۲۵	۳
۱۰	۲/۵	۴
۲۰	۵	۵
۵۰	۱۲/۵	۶
۱۰۰	۲۵	۷

با توجه به جدول (۳)، ملاحظه می‌گردد که هر چه قدر فشار اعمالی به دیافراگم پیشنهادی بیشتر می‌شود، میانگین جابجایی مرکز دیافراگم بیشتر می‌گردد که داشتن بیشترین مقدار جابجایی مطلوب می‌باشد. البته بسته به کاربرد دیافراگم، فشار مربوطه اعمال می‌شود و به شرطی که سیستم را از خطی بودن خارج نکند.

۶. نتیجه گیری

بر اساس مقاله‌ای که در سال ۲۰۱۳، ارائه گردیده است، دیافراگم میکروفون پیزوالکترویک با استفاده از تکنولوژی میکروالکتروموکانیکی جهت به کارگیری در کاربردهای پزشکی پیشنهاد شده است. در مقاله

References

- [1] R.J. Littrell, "High performance piezoelectric MEMS microphones", Ph.D. dissertation, The University of Michigan, 2010.
- [2] D.R. Dixon, "Mems microphones break design mould", April 2006.
- [3] J. Bouchaud, "Mems microphones make noise", Jan. 2012.
- [4] I.J. Cho, S. Jang, H.J. Nam, "A piezoelectrically actuated mems speaker with polyimide membrane and thin film pb(zr,ti)o3(pzt) actuator", Integrated Ferroelectrics, Vol. 105, No. 1, pp. 27–36, 2009.
- [5] M.C. Cheng, W.S. Huang, S.R.S. Huang, "A silicon microspeaker for hearing instruments", Journal of Micromechanics and Microengineering, Vol. 14, No. 7, pp. 859-866, May 2004.
- [6] H. Kim, A. Astle, K. Najafi, L. Bernal, P. Washabaugh, F. Cheng, "Bi-directional electrostatic microspeaker with two large-deflection flexible membranes actuated by single/dual electrodes", Proceeding of the IEEE/ICSENS, pp. 89-92, Irvine, CA, USA, Nov. 2005.
- [7] H. J. Kim, K. Koo, S.Q. Lee, K.H. Park, J. Kim, "High performance piezoelectric microspeakers and thin speaker array system", ETRI Journal, Vol. 31, No. 6, pp. 680–687, Dec. 2009.
- [8] G. Lemarquand, R. Ravaud, I. Shahosseini, V. Lemarquand, J. Moulin, E. Lefevre, "Memselectrodynamic loudspeakers for mobile phones", Applied Acoustics, Vol. 73, No. 4, pp. 379 -385, April 2012.
- [9] Y.J. Chang, Y.W. Chung, T.A. Chou, M.F. Huang, "Valve-less diaphragm micropump with electromagnetic actuation", Advanced Materials Research, Vol. 647, pp. 929–934, Jan. 2013.
- [10] S.S. Je, F. Rivas, R.E. Diaz, J. Kwon, J. Kim, B. Bakkaloglu, S. Kiaei, J. Chae, "A compact and low-cost MEMS loudspeaker for digital hearing aids", IEEE Trans. on Biomedical Circuits and Systems, Vol. 3, No. 5, pp. 348-358, Oct. 2009.
- [11] S. Kim, X. Zhang, R. Daugherty, E. Lee, G. Kunnen, D. Allee, E. Forsythe, J. Chae, "Microelectromechanical systems (mems) based-ultrasonic electrostatic actuators on a flexible substrate", IEEE Electron Device Letters, Vol. 33, No. 7, pp. 1072 –1074, July 2012.
- [12] P. Rangsten, L. Smith, L. Rosengren, B. Hok. "Electrostatically excited diaphragm driven as a loudspeaker", Sensors and Actuators A: Physical, Vol. 52, pp. 211–215, 1996.
- [13] P. Scheeper, A.D. Van der, W. Olthuis, P. Bergveld, "A review of silicon microphones", Sensors and Actuators A: Physical, Vol. 44, No. 1, pp. 1–11, 1994.
- [14] W.S. Lee, S.S. Lee, "Piezoelectric microphone built on circular diaphragm", Sensors and Actuators A: Physical, Vol. 144, No. 2, pp. 367-373, June 2008.
- [15] H. Bruhns, A. Marianovich, M. Wolff, "Photoacoustic spectroscopy using a MEMS microphone with inter-IC sound digital output", International Journal of Thermophysics, Vol. 35, No. 12, pp. 2292–2301, Dec. 2014.
- [16] C. Han, E. Kim, "Fabrication of dome-shaped diaphragm with circular clamped boundary on silicon substrate", in Proc. IEEE Conference MEMS, pp. 505–510, Jan. 1999.
- [17] S.H. Yi, E.S. Kim, "Piezoelectric Micro-speaker with Compressive Nitride Diaphragm", IEEE International Micro Electro Mechanical Systems Conference, pp. 260-263, Jan. 2002.
- [18] M. Niu, E.S. Kim, "Piezoelectric bimorph microphone built on micromachined polyimide diaphragm", Journal of Microelectromechanical Systems, Vol. 12, No. 6, pp. 892-898, Dec. 2003.
- [19] S.C. Ko, Y.C. Kim, S.S. Lee, S.H. Choi, S.R. Kim, "Micromachined piezoelectricmembrane acoustic device", Sensors and Actuators A: Physical, Vol. 103, No. 1-2, pp. 130–134, Jan. 2003.
- [20] J.W. Judy, "Microelectromechanical systems (MEMS): fabrication, design and applications", Smart Materials and Structures, Vol. 10, No. 6, pp. 1115–1134, Nov. 2001.
- [21] D.T. Blackstock, "Fundamentals of physical acoustics", California: John Wiley & Sons, Inc, Ch. 4, 14, 2000.
- [22] N. Zargarpour, M.H. Zarifi, "A piezoelectric micro-electromechanical microphone for implantable hearing aid applications", Berlin Heidelberg, Vol. 21, No. 4, pp. 893-902, April 2014.
- [23] S.N. Laboratories, A. Sandia, "MEMS advanced design short course notes", National Laboratories, NM, pp. 5-21, July 2002.
- [24] J.J. Sneigowski, M.S. Rodgers, "Multi-layer enhancement to polysilicon surface micromachining technology", International Electron Devices Meeting, pp. 903-906, Dec. 1997.
- [25] S. Timoshenko, S.W. Krieger, "Theory of plates and shells", McGraw-Hill, New York, pp. 396–404, 1959.
- [26] N. Zargarpour, M. Zarifi, "Proposing a new design for microelectromechanical microphone's diaphragm in implantable hearing aid", Proceeding of the National Conf. on Computer and Intelligent Systems. Iran-Tabriz, 2013.
- [27] P. DahaleKetaki, M. RasalSuyog, "An aid hearing for stone deaf person", International Journal of Engineering Science and Technology (IJEST), Vol. 4, No. 4, pp. 1544-1552, 2012.
- [28] T.Y. Cheng, "The sensitivity analysis of a MEMS microphone with different membrane diameters", Journal of Marine Science and Technology, Vol. 18, No. 6, pp. 790-796 , Dec. 2010.